



Shahid Bahonar
University of Kerman



Iranian
Biotechnology Society

Green synthesis of iron oxide, copper, zinc oxide and silver nanoparticles from aqueous extract of *F. vulgare* and evaluation of their structural and antimicrobial properties

Shima Bourang 

Ph. D. Student, of Agricultural Biotechnology, Department of plant genetics and production engineering, University of Mohaghegh Ardabili, Ardabil, Iran. E-mail address: sh.bourang@gmail.com

Sodabeh Jahanbakhsh-Godekahriz 

*Corresponding author. Professor, Department of plant genetics and production engineering, Faculty of Agriculture and Natural Resources, University of Mohaghegh Ardabili, Ardabil, Iran. E-mail address: jahanbakhsh@uma.ac.ir

Rasool Asghari-Zakaria 

Professor, Department of Agronomy and Plant Breeding, Faculty of Agriculture and Natural Resources, University of Mohaghegh Ardabili, Ardabil, Iran. E-mail address: r-asghari@uma.ac.ir

Hamed Parsa-Khankandi 

Assistant Professor, Department of Pharmacognosy, Faculty of Pharmacy, Ardabil. Iran. E-mail address: h.parsa@arums.ac.ir

Mehran Noruzpour 

Ph. D. Student, of Agricultural Biotechnology, Department of plant genetics and production engineering, University of Mohaghegh Ardabili, Ardabil, Iran. E-mail address: m.noruzpuor@gmail.com

Abstract

Objective

Fennel (*Foeniculum vulgare*) has important medicinal compounds with the ability to inhibit DNA oxidative damage. In the present study, metal nanoparticles were first biosynthesized from the aqueous extract of the aerial parts of the fennel plant, and after evaluating the structure and size of the nanoparticles, the effect of the aqueous extract obtained from the aerial parts of the fennel plant and the metal nanoparticles biosynthesized from it was investigated on the growth and survival of bacteria. *E. coli* and *S. aureus* were investigated.

Materials and methods

The size of the resulting nanoparticles was analyzed using scanning electron microscope (SEM) and nanoparticle size distribution (DLS), and the chemical structure and bonds in the composition of nanoparticles were investigated using FTIR. The amount of antibacterial activity of the

resulting extract (at a concentration of 20, 10, 5 and 2.5 μ l/ml) and iron oxide nanoparticles (at a concentration of 10, 5, 2.5 and 1.25 μ l/ml), copper, zinc oxide and silver (in concentrations of 2, 1, 0.5 and 0.25 μ l/ml) on culture media containing *E. coli* and *S. aureus* bacteria were investigated using the diffusion plate method and the minimum inhibitory concentration (MIC).

Results

According to the SEM results, biosynthesized iron oxide, copper, silver and zinc oxide nanoparticles had an average size of 25, 22, 23 and 24 nm, respectively, which can be highly effective in the process of dealing with different bacteria. According to the results, *E. coli* bacteria were more sensitive than *S. aureus* to concentrations equal to the treatments used and created larger halos. Also, the size of the formed halos depended on the concentration and their size increased with the increase of the concentration. Among the treatments used, the use of biosynthesized silver nanoparticles (especially in concentrations of 10, 5, 2.5 and 1.25 mg) had more antibacterial properties. In terms of the survival rate and growth of bacteria cultured using the MIC method, the IC₅₀ of *E. coli* bacteria is lower than that of *S. aureus* bacteria at concentrations equal to the applied treatments, indicating the high sensitivity of the bacterial strain. *E. coli* compared to *S. aureus* bacteria.

Conclusions

Aqueous extract of fennel plant and metal nanoparticles biosynthesized from it have high properties in controlling *S. aureus* bacteria as gram positive bacteria and *E. coli* as gram negative bacteria. In this research, it was found that silver nanoparticles biosynthesized from the aqueous extract of fennel plant have high antibacterial properties compared to iron oxide, zinc oxide and copper nanoparticles.

Keywords: Antibacterial properties, *F. vulgare*, Green synthesis, Metal nanoparticles

Paper Type: Research Paper.

Citation: Bourang Sh, Jahanbakhsh-Godekahriz S, Asghari-Zakaria R, Parsa-Khankandi H, Noruzpour M (2024) Green synthesis of iron oxide, copper, zinc oxide and silver nanoparticles from aqueous extract of *F. vulgare* and evaluation of their structural and antimicrobial properties. *Agricultural Biotechnology Journal* 16 (3), 61-88.

Agricultural Biotechnology Journal 16 (3), 61-88.

DOI: 10.22103/jab.2024.23102.1557

Received: June 26, 2024.

Received in revised form: August 09, 2024.

Accepted: August 10, 2024.

Published online: September 30, 2024.

Publisher: Faculty of Agriculture and Technology Institute of Plant Production, Shahid Bahonar University of Kerman-Iranian Biotechnology Society.

© the authors



ستنز سبز نانوذرات اکسید آهن، مس، اکسید روی و نقره از عصاره آبی گیاه رازیانه (F.

ارزیابی خواص ساختاری و خاصیت ضد میکروبی آنها (vulgare)

شیما بورنگ 

دانشجوی دکتری بیوتکنولوژی، دانشگاه محقق اردبیلی، دانشکده کشاورزی و منابع طبیعی، گروه مهندسی تولید و ژنتیک گیاهی،
اردبیل، ایران. رایانامه: shbourang@gmail.com

سدابه جهانبخش گده کهریز 

*نویسنده مسئول: استاد، دانشگاه محقق اردبیلی، دانشکده کشاورزی و منابع طبیعی، گروه مهندسی تولید و ژنتیک گیاهی، اردبیل،
ایران. رایانامه: jahanbakhsh@uma.ac.ir

رسول اصغری زکریا 

استاد، دانشگاه محقق اردبیلی، دانشکده کشاورزی و منابع طبیعی، گروه مهندسی تولید و ژنتیک گیاهی، اردبیل، ایران. رایانامه: r-asghari@uma.ac.ir

حامد پارسا خانکندي 

استادیار، دانشگاه علوم پزشکی، واحد اردبیل، دانشکده داروسازی، گروه فارماکوگنوزی، اردبیل، ایران. رایانامه:
h.parsa@arums.ac.ir

مهران نوروزپور 

دکتری بیوتکنولوژی، دانشگاه محقق اردبیلی، دانشکده کشاورزی و منابع طبیعی، گروه مهندسی تولید و ژنتیک گیاهی، اردبیل،
ایران. رایانامه: m.noruzpuor@gmail.com

تاریخ دریافت: ۱۴۰۳/۰۴/۰۵ تاریخ دریافت فایل اصلاح شده نهایی: ۱۴۰۳/۰۵/۱۹ تاریخ پذیرش: ۱۴۰۳/۰۵/۲۰

چکیده

هدف: رازیانه (*Foeniculum vulgare*) دارای ترکیبات دارویی مهم با توانایی مهار آسیب‌های اکسیداتیوی DNA است. در پژوهش حاضر ابتدا نانوذرات فلزی از عصاره آبی اندام هوایی گیاه رازیانه بیوسترن شده و پس از ارزیابی ساختار و اندازه نانوذرات، به بررسی تأثیر عصاره آبی حاصل از اندام هوایی گیاه رازیانه و نانوذرات فلزی بیوسترن شده از آن بر روی رشد و زندگانی باکتری‌های *S. aureus* و *E. coli* پرداخته شد.

مواد و روش‌ها: اندازه نانوذرات حاصل به کمک میکروسکوپ الکترونی روبشی (SEM) و توزیع اندازه نانوذرات (DLS) و ساختار شیمیایی و پیوندهای موجود در ترکیب نانوذرات به کمک FTIR بررسی شدند. میزان فعالیت ضدبacterیایی عصاره حاصل (در غلظت ۲۰، ۱۰، ۵ و ۲/۵ میکرولیتر در میلی لیتر) و نانوذرات اکسیدآهن (در غلظت ۱۰، ۵، ۲/۵ و ۱/۲۵ میکروگرم در میلی لیتر)، مس، اکسیدروی و نقره (در غلظت ۲، ۱، ۰/۵ و ۰/۲۵ میکروگرم در میلی لیتر) بر محیط کشت‌های حاوی باکتری *E. coli* و *S. aureus* به کمک روش صفحات انتشار و حداقل غلظت بازدارنده (MIC) مورد بررسی قرار گرفت.

نتایج: طبق نتایج حاصل از SEM نانوذرات اکسیدآهن، مس، نقره و اکسیدروی بیوسنتز شده دارای اندازه متوسط به ترتیب ۲۵، ۲۲، ۲۳ و ۲۴ نانومتر بود که می‌تواند از کارآیی بالایی در فرایند مقابله با باکتری‌های مختلف داشته باشد. طبق نتایج حاصل، باکتری *E. coli* نسبت به *S. aureus* به غلظت‌های برابر تیمارهای مورد استفاده حساس‌تر بوده و هاله‌های بزرگ‌تری را ایجاد کردند. همچنین اندازه هاله‌های تشکیل شده نیز وابسته به غلظت بوده و با افزایش غلظت، اندازه آن‌ها افزایش یافت. در میان تیمارهای استفاده شده، استفاده از نانوذرات نقره بیوسنتز شده (به خصوص در غلظت‌های ۱۰، ۵، ۲/۵ و ۱/۲۵ میلی‌گرم) خواص ضدبacterیایی بیشتری داشت. از نظر میزان زنده‌مانی و رشد باکتری‌های کشت شده به کمک روش MIC، نیز میزان IC₅₀ باکتری *E. coli* نسبت به باکتری *S. aureus* در غلظت‌های برابر تیمارهای اعمال شده پایین‌تر بوده و بیانگر حساسیت بالای سویه باکتری *E. coli* نسبت به باکتری *S. aureus* بود.

نتیجه‌گیری: عصاره آبی گیاه رازیانه و نانوذرات فلزی بیوسنتز شده از آن از خواص بالایی در کنترل باکتری *S. aureus* به عنوان باکتری گرم مثبت و *E. coli* به عنوان باکتری گرم منفی برخوردار است. در این پژوهش مشخص شد که نانوذرات نقره بیوسنتز شده از عصاره آبی گیاه رازیانه در مقایسه با نانوذرات اکسیدآهن، اکسیدروی و مس از خواص ضدبacterیایی بالایی برخوردار است.

کلیدواژه‌ها: بیوسنتز نانوذرات، فلزی خواص ضدبacterیایی، رازیانه

نوع مقاله: پژوهشی.

استناد: بورنگ شیما، جهانبخش گده‌کهریز سدابه، اصغری زکریا رسول، پارسا خانکندي حامد، نوروزپور مهران (۱۴۰۳) سنتز سبز نانوذرات اکسیدآهن، مس، اکسیدروی و نقره از عصاره آبی گیاه رازیانه (*F. vulgare*) و ارزیابی خواص ساختاری و ضدمیکروبی آن‌ها. مجله بیوتکنولوژی کشاورزی، ۱۶(۳)، ۸۸-۶۱.

Publisher: Faculty of Agriculture and Technology Institute of Plant Production, Shahid Bahonar University of Kerman-Iranian Biotechnology Society.

© the authors



مقدمه

یکی از ویژگی‌های مهم نانوتکنولوژی جنبه چند رشته‌ای بودن آن است. نانوتکنولوژی حوزه‌های مختلفی از علوم پایه از جمله کشاورزی، مهندسی مواد، رنگ‌سازی پزشکی، الکترونیک و غیره را در بر می‌گیرد (Usman et al. 2020). امروزه به دلیل استفاده بی‌رویه از آنتی‌بیوتیک‌ها، چندین سویه از انواع باکتری‌های مقاوم در برابر چندین دارو شناسایی شده‌اند (Al-Hasan & Harmoosh 2020). تأثیر اقتصادی مقاومت میکروارگانیسم‌ها نسبت به داروها به دلیل افزایش هزینه‌های درمان و پزشکی با سرعت نگران کننده‌ای در حال افزایش است (Tacconelli et al. 2018). باکتری‌ها از طریق مکانیسم‌های مختلفی نسبت به داروها مقاومت پیدا می‌کنند (Belete 2019).

شناسایی عوامل ضدمیکروبی جدید جهت بهبود فعالیت‌شان ضروری است. نانوتکنولوژی بستر مناسبی جهت تعییر خواص فیزیکی و شیمیایی مواد مختلف در مقایسه با همتای ابیوه آن‌ها فراهم می‌کند که می‌توان از آن برای کاربردهای زیستی استفاده کرد (Bourang et al. 2024). نانوپزشکی شاخه‌ای از فناوری نانو است که در زمینه تشخیص، نظارت، داروسانی و کنترل بیماری‌ها اهمیت دارد (Zheng et al. 2021). کاربرد نانوتکنولوژی در پزشکی یک روند نسبتاً جدید به نظر می‌رسد (Bourang et al. 2024). طبق گزارشات انجام شده نانوذرات نقره می‌توانند جایگزین مناسبی برای آنتی‌بیوتیک‌ها و کنترل عفونت‌های میکروبی باشند (Bruna et al. 2021). تعیین اثربخشی یک نانوذره به عنوان یک عامل ضدباکتری، نیازمند تکنیک‌های تجربی است که میزان زنده‌مانی باکتری‌ها را می‌سنجد (Sánchez-López et al. 2020). در حالی که تکنیک‌های متعددی برای تعیین فعالیت ضدباکتریایی نانوذرات توسعه یافته‌اند، اما هر کدام از روش‌ها دارای نواقصی هستند (Zheng et al. 2021). باکتری‌های گرم مثبت و گرم منفی پاسخ متفاوتی به نانوذرات دارای خواص ضدباکتریایی دارند که بر این اساس روش‌های ارزیابی آن‌ها نیز متفاوت هستند (Khan et al. 2018). بنابراین، مطالعات مختلف تأثیرات نانوذرات بر روی باکتری‌ها اغلب شامل حداقل یک گونه باکتری گرم مثبت و یک گونه باکتری گرم منفی است (Yusof et al. 2019).

تکنیک انتخاب شده جهت ارزیابی میزان اثر بخشی نانوذرات تا حدودی به نوع داده‌های مورد نیاز بستگی دارد. روش‌های مختلفی جهت سنجش مقاومت باکتری‌ها در برابر نانوذرات با خواص ضدباکتریایی وجود دارد که از جمله آن می‌توان به سنجش حداقل غلظت مهارکننده (MIC)، حداقل غلظت باکتری‌کشی (MBC) و سنجش‌های پیچیده‌تر دیگر، از جمله رنگ‌آمیزی باکتری‌های زنده یا مرده و سنجش کاهش نمک تترزاولیوم اشاره نمود (Siva et al. 2020).

چندین نانوذره همانند نقره، مس، اکسیدآهن (Fe_3O_4), دی‌اکسیدتیتانیوم (TiO_2), اکسیدروی (ZnO) و طلا جهت خواص ضدمیکروبی مورد مطالعه قرار گرفته است (Kheiri et al. 2019). برخی از فلزات همانند روی، نقره و مس مکانیسم‌های ضدباکتریایی را به شکل توده‌ای از خود نشان می‌دهند، این در حالیست که ترکیبات دیگر همانند آهن در حالت طبیعی خواص ضدباکتری ندارند و تنها در حالت نانوذره خود توانایی کنترل رشد باکتری را دارند (Saqib et al. 2019).

از طرفی دیگر مکانیسم فعالیت ضدباکتریایی از یک نانوذره به نانوذره‌ای دیگر متفاوت است. این در حالیست که مکانیسم دقیق اثرات ضدباکتریایی تمامی نانوذرات به طور کامل شناسایی نشده است (Thakur & Verma 2021).

از جمله مکانیسم‌های پیشنهادی می‌توان به خواص تأثیر نانوذرات بر روی غشاء سلولی و

آزادسازی یون‌های فلزی ضدباکتری به درون سلول‌های باکتریایی اشاره نمود (Niño-Martínez et al. 2019). میزان سطح به حجم یک نانوذرات با کاهش اندازه، افزایش می‌یابد که امکان تعامل بیشتر ذرات با محیط اطراف را فراهم می‌کند. بنابراین، برای ذرات ضدباکتری ذاتی مانند روی و نقره افزایش نسبت سطح به حجم آن‌ها اثر ضدباکتریایی را افزایش می‌دهد (Ajinkya et al. 2020).

فلز روی به طور طبیعی رشد طیف وسیعی از سویه‌های باکتری (عمدتاً گرم مثبت) را بدون استفاده از آنتی‌بیوتیک‌ها کاهش می‌دهد. نانوذرات اکسیدروی برای باکتری‌های مقاوم به آنتی‌بیوتیک‌ها همانند *Streptococcus aureus* و *Streptococcus agalactiae* از سمیت بالایی برخوردار است (Thakur & Verma 2021). نانوذرات اکسیدروی با ایجاد منافذ متعدد بر روی غشاء سلولی و ورود به داخل باکتری موجب افزایش تنش اکسیداتیو در داخل سلول باکتری و در نهایت مرگ می‌زیند (Mohd Yusof et al. 2020). واکنش پذیری نانوذرات اکسیدروی در محیط‌های اسیدی (pH زیر ۵/۵ و شبیه به میزان pH سلول‌های باکتریایی) افزایش یافته و به سرعت یون‌های Zn^{+2} آزاد می‌کند که موجب بروز اختلال در عملکرد میتوکندری سلول‌های توموری، فوران ROS، پراکسیداسیون لیپیدی، آسیب به DNA و در نهایت مرگ سلول‌های می‌زیند (Dappula et al. 2023). سمیت نانوذرات اکسیدروی وابسته به غلظت بوده و در غلظت‌های بالاتر سمی‌تر هستند (Yusof et al. 2020). طبق نتایج ارائه شده استفاده از نانوذرات اکسیدروی در بدن انسان به دلیل سمیت پایین و زیست سازگارپذیری بالا، جهت داروسانی هدفمند بسیار ارزشمند می‌باشد (Brindhadevi et al. 2020).

استفاده از نقره به عنوان یک عامل ضدباکتری، پیشینه تاریخی داشته و از دیرباز مورد استفاده قرار می‌گرفته است (Yaqoob et al. 2020). نقره به عنوان یک فلز ضدباکتری طبیعی است که در نوع نانوذره آن از فعالیت ضدباکتریایی بالاتری برخوردار است (Tang & Zheng 2018). طبق گزارشات انجام شده نانوذرات نقره با قطر متوسط ۲۱ نانومتر از رشد گونه‌های باکتری گرم منفی (*Salmonella typhi* و *Vibrio cholera*، *Escherichia coli*) جلوگیری می‌کند (Noruzpuor et al. 2024). نانوذرات نقره می‌توانند به ساختار غشای سلولی باکتری آسیب برسانند و منجر به نشت قندهای کاهنده و ترکیبات درون سیتوپلاسمی شده و در نتیجه منجر به مرگ باکتری‌ها شوند (Noruzpuor et al. 2024). نانوذرات نقره با گروه‌های دهنده الکترون حاوی اتم‌های گوگرد، اکسیژن یا نیتروژن که معمولاً به صورت تیول‌ها یا فسفات‌ها روی اسیدهای آمینه و اسیدهای نوکلئیک وجود دارند، تشکیل کمپلکس داده و از تقسیم سلولی و تکثیر DNA جلوگیری می‌کند (Noruzpuor et al. 2024). یون‌های Cu^{+2} آزاد شده توسط نانوذرات مس با ایجاد منافذ بر روی غشای سلولی و ورود به داخل سلول باکتریایی با گروه‌های $-SH$ و $-COOH$ پیوند یافته و در تقسیم سلولی، فرایند تقسیم RNA، DNA، عملکرد میتوکندری، ذخیره آب، سوخت و سوز درون سلولی، عملکرد آنزیم و غیره اختلال ایجاد نموده و موجب از بین رفتن سلول‌های باکتری می‌زیند (Samuel et al. 2020; Rajeshkumar et al. 2019).

پاتوژن‌های باکتریایی از جمله *Escherichia coli* و *aureus Staphylococcus* نشان داده‌اند (Maliki et al. 2022). این اندام مختلفی از نانوذرات مبتنی بر اکسید آهن شامل مگنتیت‌ها (Fe_3O_4), ماگمیت‌ها (Fe_2O_4) و فریت‌های مخلوط (MFe_2O_4) است (Bankier et al. 2019). با اصلاح سطح، از نانوذرات اکسید آهن که در آن M می‌تواند Zn، Ni، Mn، Co باشد) است (Bankier et al. 2019). سوپرپارامغناطیس (SPION)^۱ حاصل، می‌توان در تصویربرداری رزونانس مغناطیسی (MRI)^۲، تصویربرداری ذرات مغناطیسی (MPI)^۳، تحویل هدفمند داروها، پروتئین‌ها، آنتی‌بادی‌ها و اسیدهای نوکلئیک، هایپرترمی، حسگر زیستی، ترمیم بافت و جداسازی زیست مولکول‌ها استفاده کرد (Dulińska-Litewka et al. 2019). نانوذرات اکسید آهن با تولید گونه‌های فعال اکسیژن (ROS)^۴، موجب بروز آسیب به پروتئین‌ها و DNA می‌شود (Duan et al. 2019).

روش‌های مختلفی جهت سنتز انواع نانوذرات فلزی وجود دارد که می‌توان به روش‌های فیزیکی، شیمیایی و زیستی اشاره نمود (Flieger et al. 2021). روش زیستی به معنای سنتز نانوذرات با استفاده از باکتری، قارچ، جلبک، مخمر و گیاهان است. روش‌های فیزیکی و شیمیایی دارای مزایا و معایب گوناگونی می‌باشند که از جمله مزایای این نانوذرات توزیع اندازه باریک آن‌ها و معایب اصلی آن مصرف انرژی بالا، زمان، هزینه بالا و سمیت بالا و زیست سازگاری پایین آن‌ها می‌باشد که امروزه کمتر مورد توجه قرار گرفته است (Pal et al. 2019). روش‌های بیولوژیکی مزایای بیشتری نسبت به روش‌های فیزیکی و شیمیایی نظیر سازگاری با محیط‌زیست، هزینه کم تولید، عدم پردازش پایین دستی و بازدهی بالای دارند. از این‌رو، سنتز نانوذرات از طریق عصاره گیاهان، فرآیند کاهش یک مرحله‌ای ساده را با تولید در مقیاس بزرگ ارائه می‌دهد. گزارش‌های متعدد در مورد سنتز نانوذرات با استفاده از عصاره‌های گیاهی با فعالیت‌های بیولوژیکی قابل توجه ارائه شده است (Küünal et al. 2018). ترکیبات با ارزش دارویی نظیر فلاونوئیدها، آنتوسیانین‌ها، فللهای، آلکولوئیدها، تانن‌ها و غیره موجود در عصاره‌های گیاهان دارویی به عنوان عوامل کاهنده، پوشاننده و تثبیت‌کننده نانوذرات فلزی عمل می‌کنند. قسمت‌های مختلف گیاهان از جمله برگ، ساقه، ریشه، شاخساره، گل، پوست، دانه و همچنین متabolیت‌های ثانویه حاصل از آن‌ها جهت بیوسنتز نانوذرات فلزی مورد استفاده قرار گرفته است (Jadoun et al. 2021). سرشار از ترکیبات شیمیایی مهم دارویی از جمله کربوهیدرات‌ها، ساپونین‌ها، تانن‌ها، استروئیدها، فلاونوئیدها، کومارین‌ها، کوئینون‌ها، ترکیبات فلی و آلکالوئیدها هستند که در بیوسنتز نانوذرات فلزی از اهمیت بالایی برخوردار است (Anka et al. 2020).

به علاوه، یکی از جایگزین‌های آنتی‌بیوتیک‌ها، به عنوان محرك‌های رشد ضد میکروبی طبیعی، استفاده از فیتوبیوتیک‌ها و گیاهان دارویی است (Amirteymoori et al. 2021). جایگزینی ترکیبات فیتوژنیک (فیتوبیوتیک‌ها و گیاهان دارویی)، از جمله Vahabzadeh et al. 2021; Jafari Ahmadabadi et al. 2021؛ انسان‌ها، آلکالوئیدها و فلاونوئیدها، مزایای بسیاری دارد ().

1 -Superparamagnetic Iron Oxide Nanoparticles (SPION)

2- Magnetic Resonance Imaging (MRI)

3-Magnetic particle imaging (MPI)

4-Reactive Oxygen Species (ROS)

2023). بعضی از این مزیت‌ها عبارتند از پیشگیری از بیماری‌های خاص، افزایش عملکرد ضد میکروبی و آنتی‌اکسیدانی، بهبود فعالیت‌های کبدی، بهبود آنزیم‌های مربوط به هضم، افزایش معیارهای تولید زئوتکنیکی، و اثرات هیپوکلسترولمی (Safaei et al. 2022; Shokri et al. 2023). نشان داده شده که افزودن فیتوبیوتیک‌ها و گیاهان دارویی به غذا باعث بهبود عملکرد غذایی (Vahabzadeh et al. 2020) می‌شود (Apiaceae mill) از خانواده (Shahsavari et al. 2022) است که افزودن رازیانه در جیره اکسیدانی بسیار قوی بوده و از زمان‌های بسیار قدیم مورد استفاده انسان قرار گرفته است رازیانه (*Foeniculum vulgare*) (Hajalizadeh et al. 2019; Safaei et al. 2023; Mohammadabadi et al. 2023). نتایج مطالعات ثابت کرده است که افزودن رازیانه باعث افزایش هضم و بازده رشد می‌شود، حجم بسته‌بندی سلولی را زیاد می‌کند، تعداد گلbul‌های قرمز خون و هموگلوبین را افزایش می‌دهد، وزن و طول روده کوچک را بهتر می‌کند و تعداد کل باکتری‌ها را کاهش می‌دهد، کارایی و وضعیت سلامت بهتری را ایجاد می‌کند، وزن بدن را متعادل می‌کند (et al. 2023). اگرچه تحقیقات متعددی در زمینه سنتر نانوذرات فلزی مختلف از سایر گیاهان انجام گرفته است. اما منابع علمی در دسترس مبنی بر تولید نانوذرات فلزی از گیاه رازیانه (*Foeniculum vulgare*) و تأثیر آن‌ها بر روی باکتری‌ها بسیار محدود است. با توجه به مقدار بالای آهن، مس، نقره و روی و سایر فلزات درون گیاهی و ترکیبات فلاونوئیدی و آکلکلوبینی در گیاه رازیانه به نظر می‌رسد این گیاه از پتانسیل بالایی در تولید نانوذرات فلزی برخوردار باشد. در این پژوهش ابتدا به بیوسنتر نانوذرات فلزی از جمله نانوذرات اکسیدآهن، مس، اکسیدروی و نقره از عصاره آبی اندام هوایی گیاه رازیانه پرداخته شد و سپس ویژگی‌های ساختاری از جمله اندازه نانوذرات فلزی بیوسنتر شده به کمک DLS^۵ و SEM^۶ مورد بررسی قرار گرفته و در نهایت به بررسی تأثیر عصاره آبی حاصل از اندام هوایی گیاه رازیانه و نانوذرات اکسیدآهن، مس، اکسیدروی و نقره بیوسنتر شده از آن بر روی رشد و زنده‌مانی باکتری‌های *E. coli* (گرم منفی) و *S. aureus* (گرم مثبت) به کمک روش انتشار دیسک و MIC^۷ پرداخته شد.

مواد و روش‌ها

تهیه نمونه گیاهی: منبع گیاهی مورد استفاده در این آزمایش از نمونه گیاهی رازیانه (رقم سنتیک میانرس مشکین شهر) رشد یافته از بذور تهیه شده از مرکز تحقیقات بذور استان اردبیل (شهرستان اردبیل) در مرکز تحقیقات گیاهان دارویی دانشکده داروسازی، دانشگاه علوم پزشکی اردبیل جمع‌آوری شدند. سرشاخه‌های جوان فاقد بیماری و مناسب از نظر ظاهری انتخاب و به آزمایشگاه منتقل شدند. نمونه‌های هدف پس از جداسازی در دمای ۲۵°C خشک شدند.

5- Dynamic Light Scattering

6- Scanning Electron Microscopy

7- Minimum Inhibitory Concentration

عصاره‌گیری: فرایند عصاره‌گیری در آزمایشگاه بیوتکنولوژی دانشگاه محقق اردبیلی، به کمک آب مقطر (دو بار تقطیر شده)

و روش پرکولاسیون، نسبت ۱:۱۵ (یک گرم نمونه گیاهی به ۱۵ میلی‌لیتر حلال) و در مدت زمان ۴۸ ساعت انجام شد و روش پرکولاسیون، نسبت ۱:۱۵ (یک گرم نمونه گیاهی به ۱۵ میلی‌لیتر حلال) و در مدت زمان ۴۸ ساعت انجام شد (Alizadeh et al. 2016) نمونه حاصل پس از عبور از کاغذ صافی (واتمن، با منفذ ۲/۵ میکرومتری) در ۴۰۰۰ دور در دقیقه سانتریفیوژ شده و نمونه رویی به عنوان عصاره نهایی گیاهی برای آزمایش مورد استفاده قرار گرفت.

بیوسنتز نانوذرات فلزی-بیوسنتز نانوذرات اکسیدآهن: به منظور سنتزسیز نانوذرات اکسیدآهن از روش Hasan

(2022) et al., با کمی تغییرات استفاده شد. در ابتدا مقدار ۳/۳۳ گرم از نمک آهن (III) کلرید ($\text{FeCl}_3 \cdot 6\text{H}_2\text{O}$) و ۱/۵۹ گرم از نمک آهن (II) کلرید ($\text{FeCl}_2 \cdot 4\text{H}_2\text{O}$) به داخل بالن سه دهانه ۲۵۰ میلی‌لیتری ریخته و ۱۰۰ میلی‌لیتر آب دیونیزه به آن اضافه شد. به یک دهانه دماسنچ و از دهانه دیگر گاز نیتروژن با فشار ۵۰ بار به درون ظرف دمیده شد. سپس محتويات ظرف با استفاده از یک مگنت همزده شده (۳۰۰ دور در دقیقه) و دما تا 80°C بالا برده شد. سپس در بازه زمانی ۱۰ دقیقه ۱۵ میلی‌لیتر از عصاره آبی گیاه رازیانه (*F. vulgare*) به صورت قطره قطره به محلول اضافه شد سپس میزان ۶۰ میلی‌لیتر NaOH یک مولار به آن اضافه شده و بعد از تغییر رنگ محلول محتويات بالن به بشر انتقال داده و با استفاده از آهنربای قوی نانوذرات سنتز شده از کف بشر جمع‌آوری و مورد شستشو قرار گرفت. نمونه‌های حاصل پس از سانتریفیوژ در ۱۰۰۰۰ دور در دقیقه از لوله‌های آزمایشی جمع‌آوری شدند و پس از ۲۴ ساعت استقرار در فریزر 80°C - 80°C -آب‌گیری نمونه‌های حاصل درون دستگاه انجماد خشک انجام و به مدت سه ساعت خشک شدند.

بیوسنتز نانوذرات مس: بیوسنتز نانوذرات مس به روش (Akbari et al. 2020) با کمی تغییرات انجام شد. بدین

منظور ابتدا ۱۰ میلی‌مولار سولفات مس (CuSO_4) به ۱۰ میلی‌لیتر عصاره آبی گیاه اضافه شد. سپس محلول حاصل به مدت ۲۴ ساعت و در دمای 50°C توسط دستگاه شیکر در دور ۶۰ دور در دقیقه تکان داده شد. نهایتاً نانوذرات حاصل توسط سانتریفیوژ جداسازی و پس از شستشو توسط بافر فسفات و خشک شدن توسط دستگاه انجماد خشک تا زمان استفاده در یخچال و دمای 80°C -نگهداری شدند.

بیوسنتز نانوذرات نقره: به منظور سنتزسیز نانوذرات نقره ابتدا یک میلی‌مولار نیترات نقره (AgNO_3) به ۱۰۰ میلی‌لیتر آب دیونیزه اضافه شده و به مدت ۲ ساعت در دمای اتاق روی دستگاه شیکر (۴۰ دور در دقیقه) قرار گرفت. سپس ۱۰ میلی‌لیتر عصاره گیاهی به آن اضافه شد. پس از 30°C الی 40°C دقیقه محلول مورد نظر تغییر رنگ داد. سپس محلول مورد نظر در ۱۰۰۰۰ دور در دقیقه و دمای 25°C به مدت ۱۵ دقیقه سانتریفیوژ شد. پس از حذف محلول رویی رسوب مورد نظر برای سه مرتبه توسط بافر فسفات شستشو و پس از خشک شدن توسط دستگاه انجماد خشک، جهت آزمایشات بعدی در دمای 80°C - 80°C -نگهداری شد (Ahmadi-Nouraldinvand et al. 2024).

بیوسنتز نانوذرات اکسیدروی: برای بیوسنتز نانوذرات اکسیدروی ابتدا 0.02 M مولار استات روی ($\text{Zn.2H}_2\text{O}$) به 50 mL لیتر آب دیونیزه شده اضافه و به کمک همزن برقی مغناطیسی به مدت 45 دقیقه در دمای اتاق هم زده شد. سپس 10 mL لیتر از عصاره آبی گیاه در طی چند مرحله به آن اضافه گردید. پس از 10 دقیقه و به صورت قطره قطره یک میلی لیتر سود (NaOH) پنج مولار به آن اضافه شد تا pH محلول به 11 تا 12 افزایش یابد. با افزایش pH محلول، رنگ آن به شیری-زرد تغییر نموده و تا 4 ساعت فرآیند هم زدن ادامه یافت. با افزایش دمای دستگاه همزن برقی مغناطیسی به 50°C ذراتی به رنگ شیری روشن در محلول مشاهده می شود که بیانگر سنتز نانوذرات اکسیدروی است. سپس محلول مورد نظر به مدت 15 دقیقه و در 10000 دور در دقیقه سانتریفیوژ شده و رسوب نهایی جمع آوری شده و توسط دستگاه انجام داده شد. ترکیب نهایی برای آزمایش های نهایی در دمای 80°C - نگهداری شد (Dappula et al. 2023).

بررسی خصوصیات نانوذرات فلزی: شکل و اندازه نانوذرات اکسیدآهن، مس، اکسیدروی و نقره توسط دستگاه میکروسکوپ الکترونی روبشی (SEM) (شرکت LIBRA Zeiss SMT مدل 120 PLUS by Carl Zeiss) (شرکت کشور آلمان) اندازه گیری شد. همچنین قطر هیدرودینامیکی نانوذرات اکسیدآهن، مس، اکسیدروی و نقره بیوسنتز شده با استفاده از دستگاه پراکنده نور دینامیکی (DLS)، شرکت Horiba، ساخت کشور ژاپن تعیین شد.

تئهیه نمونه باکتری: جهت بررسی فعالیت ضدباکتریایی نانوذرات اکسیدآهن، مس، اکسیدروی و نقره بیوسنتز شده از عصاره آبی گیاه رازیانه از پاتوژن گرم منفی (ATCC-25923) و *Escherichia coli* (PTCC-1276) و پاتوژن گرم مثبت (*Staphylococcus aureus*) استفاده شد.

سنجهش فعالیت خدمیکروبی نانوذرات به کمک روش انتشار دیسک (Disk Diffusion): بدین منظور ابتدا باکتری *E. coli* و *S. aureus* بر اساس غلظت مکفارلند به درون پتربی دیش های حاوی محیط کشت جامد، کاملاً پخش شد. پس از ایجاد چاهک های کوچک بر روی پتربی های حاصل عصاره آبی گیاه رازیانه در غلظت $(2/5, 5, 10, 20\text{ میکرولیتر در میلی لیتر})$ ، نانوذره اکسیدآهن حاصل از عصاره آبی گیاه در غلظت $(1/25, 2/5, 5, 10\text{ میلی گرم در میلی لیتر})$ و نانوذرات مس، نقره و اکسیدروی در غلظت $(0/05, 0, 1\text{ و }2\text{ میکرو گرم در میلی لیتر})$ درون این چاهک ها اضافه شده و سپس دیسک های استریل شده توسط اشعه UV روی هر کدام از این چاهک ها قرار داده شدند. در انتهای این پلیت ها به انکوباتور با درجه حرارت 37°C انتقال داده شده و به مدت 24 ساعت نگهداری شدند. از دیسک های حاوی تتراسایکلین به عنوان شاهد استفاده شد (Chandrasekhar et al., 2020).

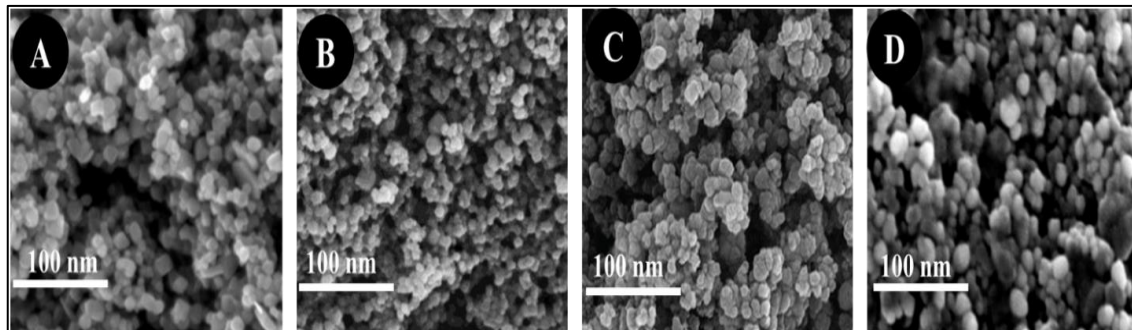
بررسی حداقل غلظت مهارکنندگی MIC: بدین منظور، 20 میلی لیتر از محیط کشت مایع به فالکون 50 میلی لیتری در شرایط استریل منتقل شد سپس میزان 1 میلی لیتر از سوسپانسیون باکتریایی (باکتری *S. aureus* به عنوان باکتری گرم مثبت و *E. coli* به عنوان باکتری گرم منفی) به محیط کشت اضافه گردید و پس از مخلوط شدن کامل با محیط کشت به هر کدام از

چاهک‌های ۹۶ خانه‌ای ۱۰۰ میکرولیتر از سوسپانسیون باکتری اضافه شد. به منظور بررسی خاصیت ضدمیکروبی عصاره‌ی آبی گیاه *F. vulgare* و نانوذرات فلزی بیوستتر شده از آن به چاهک اول ۱۰۰ میکرولیتر از عصاره گیاهی اضافه گردید. پس از اینکه عصاره‌ی گیاهی مدنظر به طور جداگانه توسط سمپلر با ۱۰۰ میکرولیتر محیط کشت مایع مخلوط شد، ۱۰۰ میکرولیتر از چاهک اول برداشته شده و به چاهک دوم منتقل شد و عمل مخلوط کردن تکرار شد. مجدداً ۱۰۰ میکرولیتر از چاهک دوم برداشته و به چاهک سوم انتقال یافت، این عمل تا چاهک انتهایی پلیت ۹۶ خانه انجام گرفت (چاهک شماره ۱۲) و در نهایت از چاهک ۱۲ میزان ۱۰۰ میکرولیتر برداشته شده و دور ریخته شد. پلیت ۹۶ خانه حاوی باکتری‌های گرم مثبت و گرم منفی به انکوباتور با درجه حرارت مناسب منتقل شده و به مدت ۲۴ ساعت انکوبه شدند. فرایند مورد نظر برای نانوذره اکسیدآهن با غلظت ۴۰ میلی‌گرم و نانوذرات مس، نقره و اکسیدروی با غلظت ۱۰ میلی‌گرم به جای عصاره آبی گیاه مذکور آغاز شد. آخرین رقت از عصاره یا نانوذره کدام از چاهک‌ها توسط دستگاه الایزاریدر بررسی شد (Alshareef 2021).

طرح آزمایشی و تجزیه آماری: آزمایش در قالب طرح کاملاً تصادفی با سه تکرار انجام شد. نرمال بودن توزیع داده‌ها با استفاده از آزمون کولموگروف-اسمیرنوف مورد بررسی قرار گرفت. تجزیه واریانس داده‌ها و مقایسه میانگین‌داده‌ها با سطح احتمال یک درصد استفاده از نرم‌افزار SPSS ver. 26 انجام گرفت. برای رسم نمودارها از نرم‌افزار Excel استفاده گردید. همچنین میزان زندمانی توده‌های باکتری به کمک نرم‌افزار GraphPad Prism8 بررسی شد.

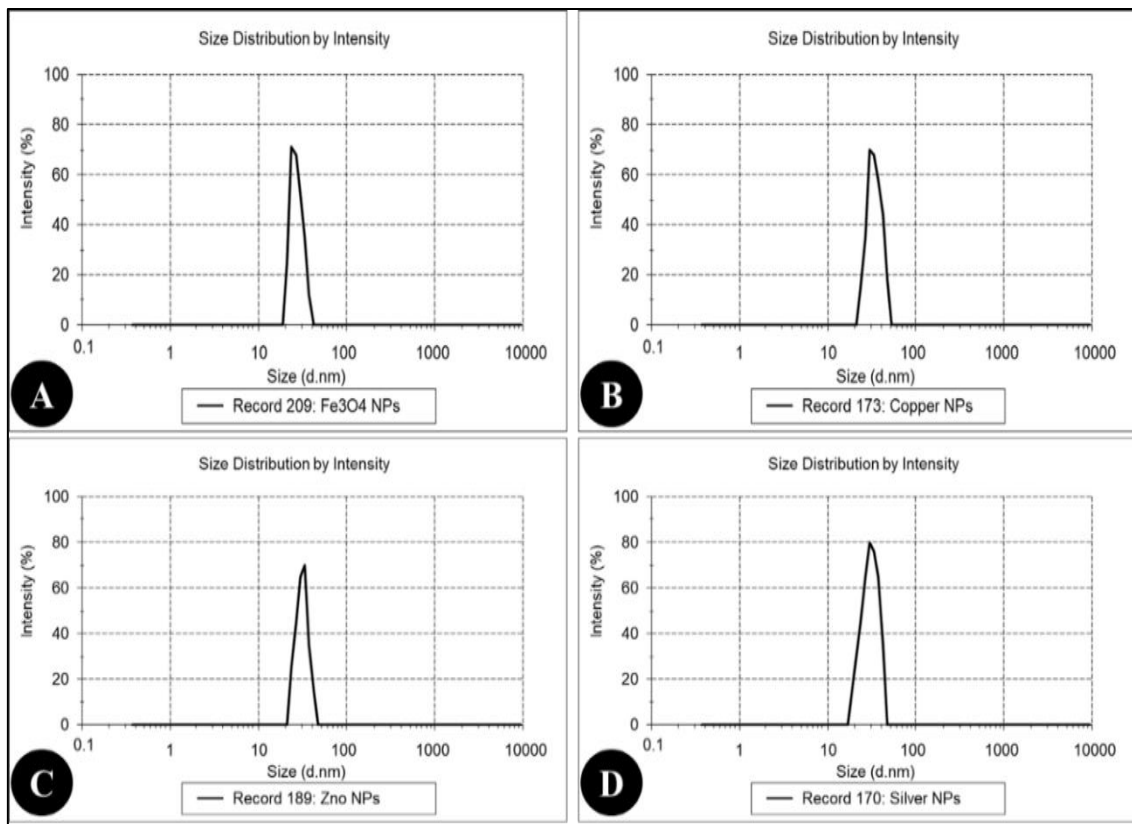
نتایج

نتایج میکروسکوپ الکترونی روبشی (SEM): ریخت‌شناسی نانوذرات آهن، مس، روی و نقره بیوستتر شده توسط میکروسکوپ الکترونی روبشی (SEM) در شکل ۱، A، B، C و D آمده است. هر چه اندازه قطر نانوذرات سنتز شده کوچک‌تر باشد، سطح تماس افزایش یافته و خواص آن‌ها (از جمله خواص ضدباکتریایی) افزایش می‌یابد (Wei et al. 2018). طبق نتایج به دست آمده اندازه نانوذرات بیوستر شده اکسیدآهن بین ۲۰ تا ۳۵ نانومتر، مس بین ۲۰ تا ۳۵ نانومتر و اکسیدروی بین ۲۰ تا ۳۵ نانومتر بود. نتایج حاصل از توزیع اندازه نانوذرات بیوستر شده (DLS) نشان داده شده در شکل ۲، ابعاد نانوذرات سنتز شده را تأیید کرد. نانوذرات اکسیدآهن، مس، نقره و اکسیدروی بیوستر شده از عصاره آبی گیاه رازیانه (*F. vulgare*) دارای قطر هیدرودینامیکی به ترتیب ۲۵، ۲۲، ۲۳ و ۲۴ نانومتر می‌باشد (شکل ۲).



شکل ۱. تصاویر میکروسکوپ الکترونی روبشی (SEM) از نانوذرات A) اکسید آهن، B) مس، C) نقره و D) اکسید روی بیوسنتز شده از عصاره آبی گیاه رازیانه (*F. vulgare*)

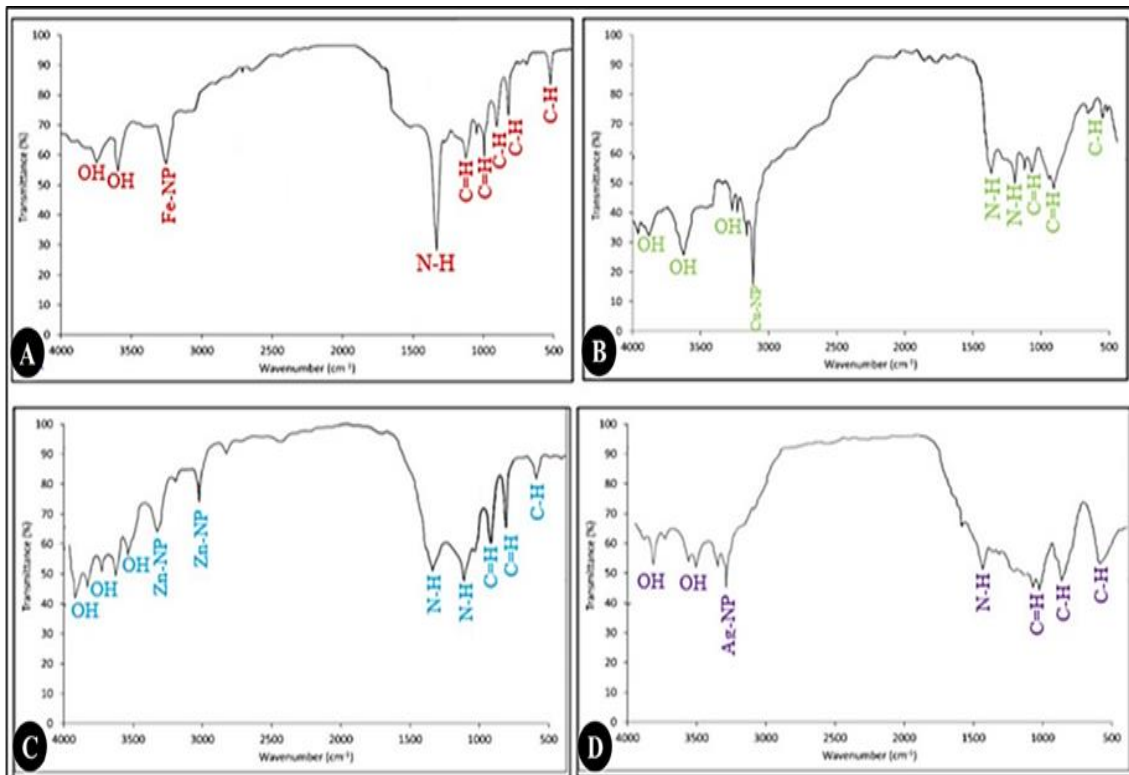
Figure 1. Scanning Electron Microscope (SEM) images of A) iron oxide, B) Copper, C) silver and D) Zinc oxide nanoparticles biosynthesized from aqueous extract of *F. vulgare*



شکل ۲. توزیع اندازه نانوذرات بیوسنتز شده از عصاره آبی گیاه *F. vulgare*: A) اکسید آهن، B) مس، C) نقره و D) اکسید روی

Figure 2. Size distribution of nanoparticles biosynthesized from the aqueous extract of *F. vulgare*: A) iron oxide, B) Copper, C) silver and D) Zinc oxide nanoparticles

نتایج FTIR: وجود پیک‌های دوگانه و پشت سرهم در تصاویر FTIR (شکل ۳)، نانوذرات آهن، مس، روی و نقره در نواحی ۳۵۰۰-۴۰۰۰ cm⁻¹ نمایانگر ارتعاشات کششی گروه H-O می‌باشد. همچنین وجود پیک‌های دوتایی و پیک‌های کشیده در ناحیه ۲۸۰۰-۳۵۰۰ N-H نمایانگر حضور نانوذرات فلزی است. همچنین در نواحی ۱۵۰۰ تا ۵۰۰ پیک‌های کششی مربوط به پیوندهای C=O، O-C و O-H بود. از آنجایی که ترکیبات آلی عصاره‌های گیاهی در اطراف نانوذرات قرار می‌گیرند و باعث پایداری نانوذرات می‌شوند، لذا در طیف FTIR نوسان‌های جذبی مربوط به این گروه‌های آلی دیده می‌شوند (شکل ۳).



شکل ۳. طیف FTIR نانوذرات بیوسنتز شده از عصاره آبی گیاه رازیانه (*F. vulgare*) (A): نانوذرات اکسید آهن، (B) مس، (C) نقره و (D) اکسید روی

Figure 3. FTIR spectrum of nanoparticles biosynthesized from aqueous extract of *F. vulgare*: A) iron oxide, B) Copper, C) silver and D) Zinc oxide nanoparticles

بررسی فعالیت خدباکتریایی عصاره آبی گیاه رازیانه (*F. vulgare*) و نانوذرات اکسید آهن، مس، نقره و اکسید روی بیوسنتز شده از آن: نتایج حاصل از تجزیه واریانس داده‌ها نشان داد که اندازه هاله تولید شده در پلیت‌های حاوی دو گونه باکتری، گرم منفی (*S. aureus*) و گرم مثبت (*E. coli*) تحت تأثیر نوع عامل بازدارنده

(عصاره آبی گیاه رازیانه و نانوذرات اکسیدآهن، مس، نقره و اکسیدروی بیوسنتز شده از آن) و غلظت‌های مختلف استفاده شده از عوامل بازدارنده قرار گرفت (جدول ۱).

جدول ۱. میانگین مربعات فعالیت خداباکتریایی عصاره آبی گیاه رازیانه (*F. vulgare*) و نانوذرات اکسیدآهن، مس، نقره و اکسیدروی بیوسنتز شده از آن

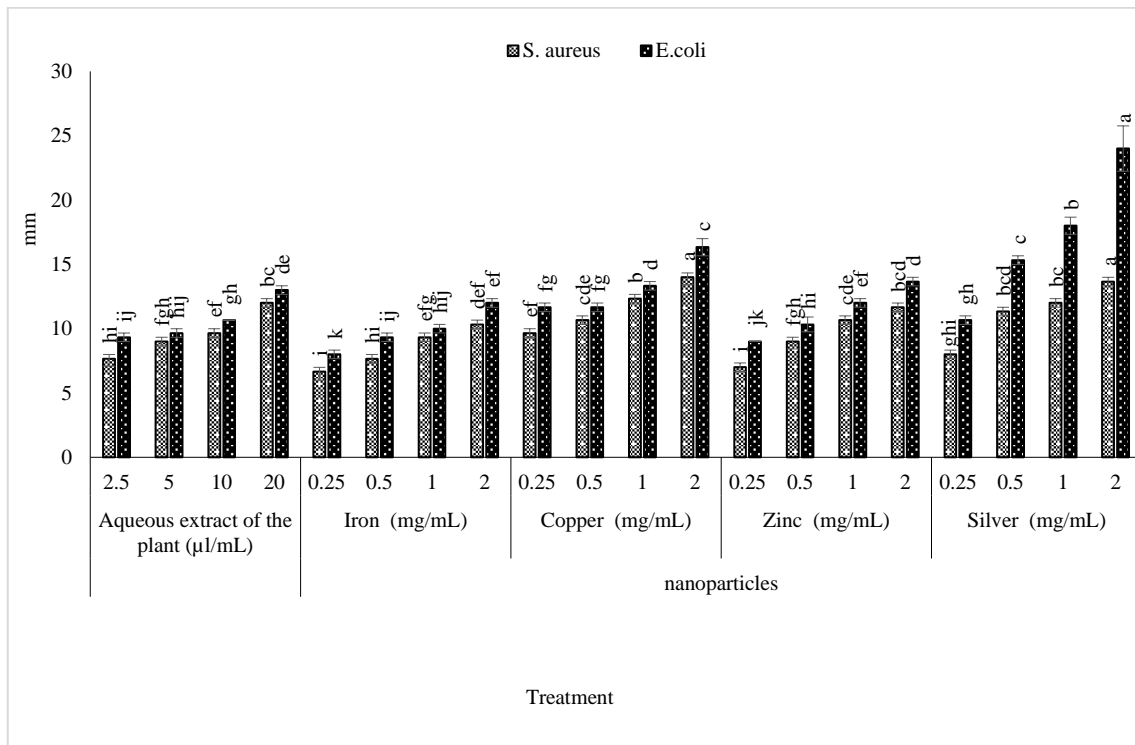
Table 1. Mean square of antibacterial activity of aqueous extract of *F. vulgare* and iron oxide, copper, silver and zinc oxide nanoparticles biosynthesized

S.O.V	منبع تغییرات	df	مربعات میانگین	
			<i>S. aureus</i>	<i>E. coli</i>
Between different treatments		19	13.55 **	42.23 **
Between different concentrations of aqueous extract		3	9.86 **	8.22 **
Between different concentrations of iron oxide nanoparticles		3	8.11 **	8.33 **
Between different concentrations of copper nanoparticles		3	10.88 **	14.52 **
Between different concentrations of zinc oxide nanoparticles		3	12.55 **	12.30 **
Between different concentrations of silver nanoparticles		3	16.97 **	75.55 **
Error		40	0.61	0.50
CV (%)	ضریب تغییرات (درصد)	-	6.75	10.28

**: Significance at the 1% probability level

همان‌طوری که در شکل ۴ مشاهده می‌شود، بین دو گونه باکتری (باکتری‌های *S. aureus* و *E. coli*) از نظر حساسیت در برابر غلظت‌های مختلف عصاره آبی رازیانه (*F. vulgare*) و نانوذرات اکسیدآهن، مس، نقره و اکسیدروی اختلاف معنی‌داری از نظر آماری مشاهده شد. به طوری که باکتری *E. coli* در اکثر موارد نسبت به تیمارهای اعمال شده حساس‌تر از باکتری *S. aureus* بود (شکل ۴ و ۵). این امر می‌تواند به دلیل وجود یک لایه نازک پپتیدوگلیکان در باکتری‌های گرم منفی همانند *E. coli* باشد که نسبت به باکتری‌های گرم مثبت (دارای پپتیدوگلیکان ضخیم و اسیدهای تیکوئیک) در برابر آنتی‌بیوتیک‌ها و سایر ترکیبات ضدмیکروبی حساس می‌باشند. به طور کلی با افزایش غلظت تیمارهای اعمال شده، اندازه هاله‌ها افزایش داشت این مورد در هر دو گونه باکتری صادق بود (شکل ۴). طبق نتایج به دست آمده بزرگ‌ترین هاله (۲۴/۰۱ میلی‌متر) مربوط به دیسک حاوی ۲ میلی‌گرم نانوذره نقره بیوسنتز شده در پلیت حاوی باکتری *E. coli* مشاهده شد (شکل ۵-F). طبق نتایج به دست آمده (شکل ۴)،

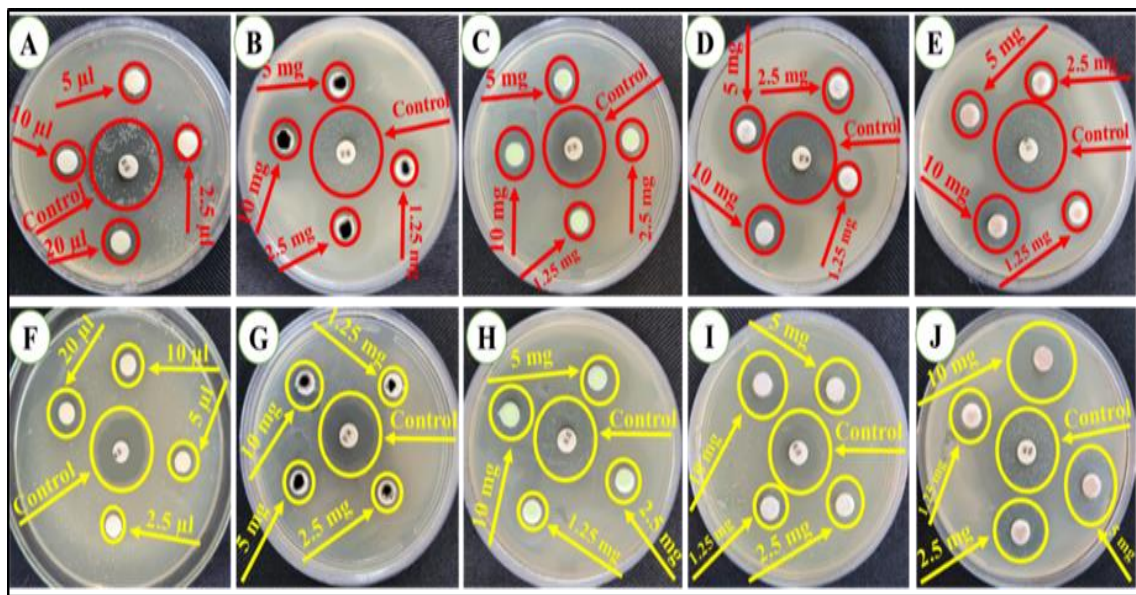
خاصیت ضدبacterیایی (اندازه ایجاد هاله) عصاره آبی رازیانه (*F. vulgare*) و نانوذرات اکسیدآهن، مس، نقره و اکسیدروی بیوسنتز شده از آن در مورد هر دو باکتری کشت شده وابسته به غلظت بوده و با افزایش غلظت، به طور معنی‌داری افزایش یافت. همچنین بین دو گونه باکتری (باکتری‌های *S. aureus* و *E. coli*) در غلظت‌های برابر نانوذرات اکسیدآهن، مس، نقره و اکسیدروی بر خلاف غلظت‌های برابر عصاره آبی رازیانه (*F. vulgare*) اختلاف معنی‌داری از نظر آماری مشاهده شد. بیشترین میزان اختلاف بین باکتری‌های *S. aureus* و *E. coli* مربوط به استفاده از نانوذرات نقره بود. همچنین از نظر استفاده از عصاره آبی رازیانه (*F. vulgare*) علاوه‌براین که بین دو گونه باکتری اختلاف معنی‌داری مشاهده نشد، بین غلظت‌های مختلف استفاده شده نیز درون هر باکتری اختلاف معنی‌داری وجود نداشت.



شکل ۴. اندازه هاله ناشی از فعالیت ضدبacterیایی عصاره آبی رازیانه (*F. vulgare*) و نانوذرات اکسیدآهن، مس، نقره و اکسیدروی بیوسنتز شده

Figure 4. Halo size caused by the antibacterial activity of aqueous extract of *F. vulgare* and biosynthesized iron oxide, copper, silver and zinc oxide nanoparticles

بررسی حداقل غلظت مهارکنندگی MIC: نتایج حاصل از تجزیه واریاسن داده‌ها نشان داد که میزان زنده‌مانی (IC_{50}) دو گونه باکتری، *S. aureus* و *E. coli* به طور معنی‌داری ($p < 0.01$) تحت تأثیر عوامل بازدارنده رشد (رشد عصاره آبی گیاه رازیانه و نانوذرات اکسیدآهن، مس، نقره و اکسیدروی بیوسنتز شده از آن) قرار گرفت (جدول ۲).



شکل ۵. اندازه هاله ایجاد شده بر روی باکتری *S. aureus* حاصل از: (A) عصاره آبی گیاه رازیانه (*F. vulgare*) (B) نانوذرات اکسید آهن، (C) مس، (D) اکسیدروی و (E) نقره بیوسنتز شده؛ اندازه هاله ایجاد شده بر روی باکتری *E. coli* حاصل از (F) عصاره آبی گیاه رازیانه (*F. vulgare*)، (G) نانوذرات اکسید آهن، (H) مس، (I) اکسیدروی و (J) نقره بیوسنتز شده. همچنین از دیسک های حاوی تتراسایکلین به عنوان شاهد در هر دو گونه باکتری استفاده شد

Figure 5. The size of the halo created on *S. aureus* bacteria obtained from: A) aqueous extract of fennel plant (*F. vulgare*), B) nanoparticles of iron oxide, C) copper, D) zinc oxide and E) biosynthesized silver; The halo size created on *E. coli* bacteria obtained from (F) aqueous extract of fennel plant (*F. vulgare*), (G) nanoparticles of iron oxide, (H) copper, (I) zinc oxide, and (J) biosynthesized silver. Discs containing tetracycline were used as controls in both types of bacteria

طبق نتایج به دست آمده از مقایسه میانگین حداقل غلظت مهارکنندگی رشد باکتری های *E. coli* و *S. aureus* میزان IC₅₀ (غلظتی که می تواند حداقل ۵۰ درصد جمعیت باکتری (*E. coli* و *S. aureus*) را از بین برد) ثبت شده بین عصاره آبی گیاه رازیانه (*F. vulgare*) و نانوذرات فلزی حاصل از آن اختلاف معنی داری مشاهده شد. به عبارتی دیگر جهت از بین بردن حداقل ۵۰ درصد باکتری های *E. coli* و *S. aureus* به غلظت بالاتری از عصاره آبی گیاه رازیانه در مقایسه با نانوذرات ذکر شده نیاز است. همچنین از نظر میزان IC₅₀ بین نانوذرات فلزی نیز اختلاف معنی داری مشاهده شد به طوریکه نانوذره آهن بیوسنتز شده به طور معنی داری میزان IC₅₀ بیشتری نسبت به سایر نانوذرات داشت (شکل ۶ و شکل ۷).

به طور کلی همانطوریکه در شکل ۶ مشاهده می‌شود، باکتری *E. coli* در مقایسه با باکتری *S. aureus* در برابر غلظت‌های برابر عصاره آبی گیاه رازیانه و نانوذرات فلزی بیوسنتر شده از آن حساس‌تر بوده و میزان IC_{50} کمتری نسبت به باکتری *S. aureus* دارد اما این اختلاف معنی دار نبود. بیشترین (۲/۶ میکرولیتر در میلی‌لیتر) و کمترین (۰/۹۴ میلی‌گرم در میلی‌لیتر) میزان برای هر دو باکتری *E. coli* و *S. aureus* IC_{50} به ترتیب مربوط به عصاره آبی گیاه رازیانه و نانوذرات مس و اکسیدروی بیوسنتر شده از آن بود.

جدول ۲. میانگین مربعات تأثیر عصاره آبی گیاه رازیانه و نانوذرات اکسیددهن، مس، نقره و اکسیدروی بیوسنتر شده از آن بر میزان زندehمانی (IC_{50}) باکتری‌های *E. coli* و *S. aureus*

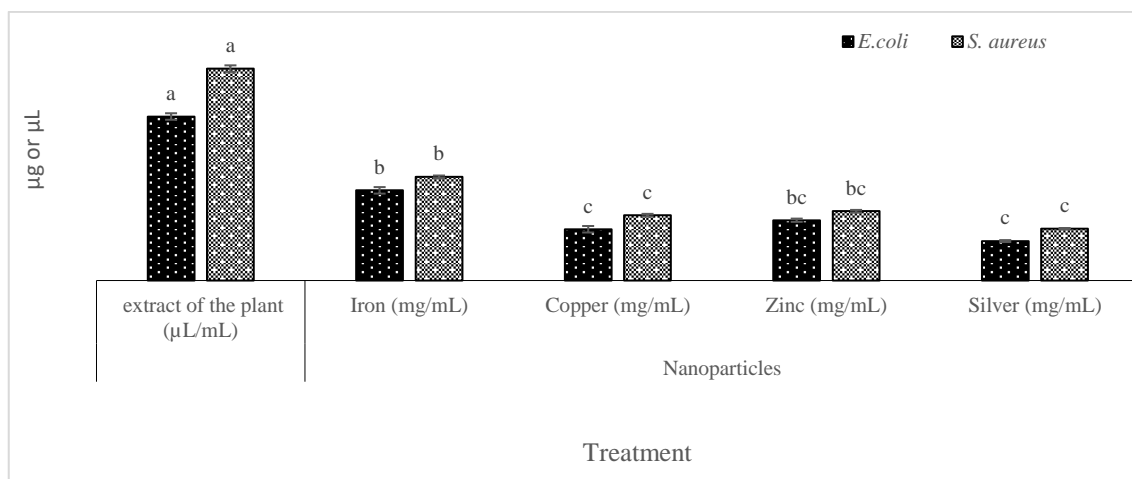
Table 2. Mean square effect of aqueous extract of *F. vulgare* and biosynthesized iron oxide, copper, silver and zinc oxide nanoparticles from it on the survival rate (IC_{50}) of *S. aureus* and *E. coli*

S.O.V	منبع تغییرات	df	مربعات میانگین MS	
			<i>S. aureus</i>	<i>E. coli</i>
Between different Treatments		4	5.39**	3.18**
Error	خطا	10	0.009	0.007
CV (%)	ضریب تغییرات (درصد)	-	4.03	5.46

** Significance at the 1% probability level

بحث

نانوتکنولوژی در بسیاری از زمینه‌ها از جمله داروسازی، الکترونیک، بهداشت، تغذیه، علوم‌زیستی، پزشکی (درمان سرطان، آرژی، دیابت و التهاب)، انتقال ژن، صنایع شیمیایی، علم انرژی، لوازم آرایشی، صنایع مکانیکی و فضایی کاربرد دارد (Bourang et al. 2024). نانوذرات به خصوص نانوذرات فلزی به دلیل اندازه کوچک‌شان توانایی نفوذ به درون عوامل میکروبی و نابودی آن‌ها را دارند (Shaaban et al. 2021). سنتر سبز نانوذرات فلزی از گیاهان دارویی به دلیل زیست‌سازگاری بالاتر، پایدارتر، سمیت کم، تولید ارزان و فرایند تولید آسان نسبت به روش‌های شیمیایی بسیار مهم است.

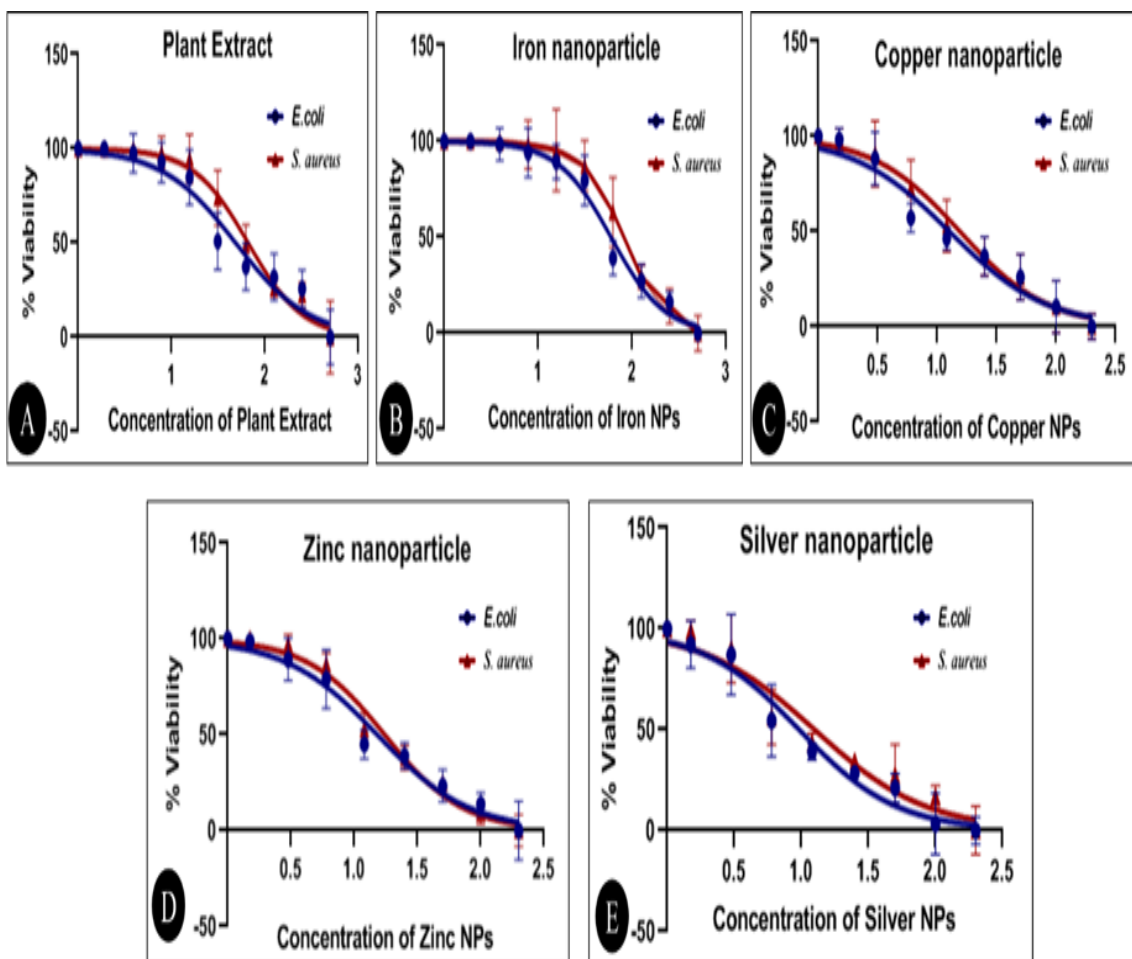


شکل ۶. میزان IC_{50} باکتری‌های *E. coli* و *S. aureus* تحت تأثیر غلظت‌های مختلف عصاره آبی گیاه رازیانه (نانوندزرات بیوسنتز شده اکسیدآهن، مس، نقره و اکسیدروی *F. vulgare*)

Figure 6. The IC_{50} value of *S. aureus* and *E. coli* bacteria under the influence of different concentrations of aqueous extract of *F. vulgare*, biosynthesized nanoparticles of iron oxide, copper, silver and zinc oxide

وجود میزان بالای ترکیبات دارویی و با ارزش همانند فلاونوئیدها، فنل‌ها، آتوسیانین‌ها، تانن‌ها و آلکالوئیدها در گیاهان دارویی امکان تثبیت، اکسیداسیون و در نتیجه سنتز نانوذرات فلزی را فراهم می‌نماید (Ishak et al. 2019). گیاه رازیانه به عنوان گیاه دارویی با ارزش دارای ترکیبات با ارزش دارویی از جمله میزان بالای فلاونوئیدها و ترکیبات فنولی می‌باشد (Anka et al. 2020). به دلیل عدم وجود گزارش‌های مختلف در مورد تولید نانوذرات فلزی و تأثیرات آن بر روی رشد باکتری‌های مختلف، در این پژوهش به بررسی ویژگی‌های مختلف عصاره آبی گیاه رازیانه *F. vulgare* و نانوذرات اکسیدآهن، مس، نقره و اکسیدروی بیوسنتز شده از آن از جمله ویژگی آنتی‌اکسیدانی و مورفولوژیکی و هم چنین خواص ضدبacterی این ترکیبات بر روی دو گونه باکتری *E. coli* و *S. aureus* مورد بررسی قرار گرفت.

عصاره‌ی قسمت‌های مختلف از جمله دانه‌ها، پوست ساقه و برگ‌های گیاه *F. vulgare* خواص آنتی‌اکسیدانی بالایی دارند (Di Napoli et al. 2022). هم‌راستا با نتایج به دست آمده در این پژوهش، Jafarirad و Poorgholi (2015) با بررسی خواص آنتی‌اکسیدانی عصاره آبی گیاه شاهتره (*Fumaria officinalis*) و نانوذرات مس و نقره بیوسنتز شده از آن به کمک روش DPPH، بیان کردند که با افزایش غلظت عصاره آبی و نانوذرات بیوسنتز شده میزان خواص آنتی‌اکسیدانی آن افزایش می‌یابد (Jafarirad & Poorgholi 2015).



شکل ۷. نمودار زنده‌مانی باکتری‌های *S. aureus* و *E. coli* تحت تأثیر غلظت‌های مختلف (A) عصاره آبی گیاه رازیانه (*F. vulgare*)، نانوذره بیوسنتز شده اکسیدآهن (B)، مس (C)، اکسیدروی (D) و نقره (E)

Figure 7. Survival diagram of *S. aureus* and *E. coli* bacteria under the influence of different concentrations A) aqueous extract of *F. vulgare*, biosynthesized nanoparticle of iron oxide (B), copper (C), zinc oxide (D) and silver (E)

لکتین محلول در عصاره آبی جدا شده از دانه، پوست ساقه و برگ‌های رازیانه اثرات مهارکنندگی بر رشد و بقا و گونه‌های مختلف باکتری‌های بیماری‌زا دارد (Barrahi et al. 2020). در پژوهشی Kakhki et al. (2020) بیان کردند که با افزایش غلظت نانوذرات نقره و مس بیوسنتز شده از عصاره آبی گیاه مرزنجوش (*Origanum majorana*), میزان فعالیت آنتی‌اکسیدانی آنها افزایش می‌یابد (Kakhki et al. 2020). طبق نتایج به دست آمده در این پژوهش مشخص شد که میزان فعالیت آنتی‌اکسیدانی عصاره آبی گیاه *F. vulgare* و نانوذرات بیوسنتز شده اکسیدآهن، مس، نقره و اکسیدروی وابسته به غلظت بوده و با افزایش غلظت، افزایش یافته (شکل ۱). نانوذرات اکسیدآهن به ویژه نانوذرات سوپر پارامغناطیسی(Fe_3O_4) به دلیل سمیت پایین،

زیستسازگارپذیری خوب و عدم حفظ ویژگی مغناطیسی بعد از حذف میدان مغناطیسی خارجی، در اکثر پژوهش‌های علمی مورد آزمایش قرار می‌گیرد (Sutunkova et al. 2023). همچنین، می‌توان نانوذرات مغناطیسی اکسیدآهن را با گروههای مانند NH_2 ، -OH، -COOH - عامل دار نمود (Surpi et al. 2023).

در پژوهشی (Salem et al. 2020) با بررسی تولید و خواص ویژگی‌های نانوذرات اکسیدآهن از عصاره آبی جلیکدریایی، بیان کردند که نانوذرات تولید شده دارای اندازه‌ای بین ۲۵ الی ۴۵ نانومتر می‌باشند و همچنین از نظر ماهیت مغناطیسی، ابرپارامغناطیس و مغناطیس نرم هستند. آن‌ها همچنین گزارش دادند که با توجه به رنگ نانوذرات (پودر سیاه رنگ)، دمای واکنش و همچنین بررسی پیک‌های XRD می‌توان نتیجه گرفت که بیشترین مقدار نانوذرات تهیه شده از نوع Fe_3O_4 می‌باشد (Salem et al. 2020). همچنین (Koohsari et al. 2017) با بررسی نتایج حاصل از عکس‌های SEM بیان کردند که نانوذرات اکسیدآهن، مس و نقره بیوسنتز شده از گیاه علف چای (*Hypericum perforatum*) دارای اندازه‌ای مابین ۳۲ الی ۳۸ نانومتر می‌باشد و از خواص ضدبacterیایی و آنتی‌اکسیدانی بالایی برخوردارند (Koohsari et al. 2017) که با نتایج به دست آمده در این پژوهش مطابقت دارد (شکل ۲-A، B و C). پیک‌های مشاهده شده در طیف XRD نانوذرات اکسیدآهن، مس و نقره بیوسنتز شده در این تحقیق، با نتایج گزارش شده توسط سایر محققین (Koohsari et al. 2017; Mahmoudi et al. 2020; Thakar et al. 2022) نیز مطابقت داشت.

علاوه بر این، گزارش شده است که عصاره آبی گیاه *F. vulgare* حاوی اثرات خسباکتری و قارچ‌کشی قدرتمند است (Belabdeli et al. 2020). عصاره اتانول پوست و ریشه گیاه *F. vulgare* دارای فعالیت‌های خسباکتری و خصدقارچی است (Erdoğan & Helal 2022). عصاره آبی حاصل از پوست ساقه این گیاه اثر ضدبacterیایی علیه *E. coli* دارد (Di Napoli et al. 2022; Eliuz 2023). همچنین *F. vulgare* با بررسی اثرات خسباکتریایی انسان حاصل از برگ گیاه *F. vulgare* و *P. aeruginosa* و *S. Typhimurium* و *E. coli* بر رشد باکتری‌های گرم مثبت و منفی از جمله باکتری‌های گرم منفی باکتری‌های گرم مثبت *B. cereus*، *S. aureus* و *M. smegmatis*، *S. aureus* و *M. smegmatis* و *E. coli* به غلظت‌های بالای انسان گیاه رازیانه حساس هستند (۱۰۰ درصد مرگ در غلظت $200 \mu\text{g/mL}$)، در حالیکه باکتری *P. aeruginosa* و *M. smegmatis* در برابر عصاره گیاه رازیانه مقاومت نسبی داشته‌اند (۸۰ درصد مرگ و میر در غلظت $200 \mu\text{g/mL}$) و سویه *S. Typhimurium* در برابر انسان رازیانه کاملاً مقاوم بوده است (۵۰ درصد مرگ و میر در غلظت $200 \mu\text{g/mL}$) (Di Napoli et al. 2022) که با نتایج حاصل از این پژوهش مطابقت دارد. در این پژوهش مشخص شد که ممانعت از رشد باکتری‌ها در هر دو گونه *E. coli* و *S. aureus* و *F. vulgare* توسط عصاره آبی گیاه *F. vulgare* وابسته به غلظت بوده و با افزایش غلظت، افزایش می‌یابد (شکل ۴ و شکل ۵-A و F). همچنین مشخص شد که در غلظت‌های برابر عصاره آبی حاصل، باکتری‌های *E. coli* نسبت به باکتری *S. aureus* حساس‌تر است.

در پژوهشی (Liaqat et al. 2022)، با بررسی تأثیر خواص ضدبacterیایی نانوذرات مس، اکسیدآهن و نقره بیوستز شده بیان کردند که باکتری‌های گرم منفی (*E.coli*) نسبت به گرم مثبت (*S. aureus*) در برابر نانوذرات بیوستز شده حساس‌تر بودند. *E. aureus* که با نتایج حاصل از پژوهش ما مطابقت دارد، به طوری که باکتری *S. aureus* نسبت به باکتری *F. vulgare* مقاومت بیشتری در برابر غلظت‌های برابر نانوذرات مس، اکسیدآهن و نقره بیوستز شده از عصاره آبی گیاه *Polygonum aviculare L.* داشتند (شکل ۴ و ۵).

نانوذرات مس و نقره با هدف قرار دادن غشاء سلولی باکتری پتانسیل غشایی پلاسمایا را ناپایدار می‌کند که این امر باعث کاهش سطح آدنوزین‌تری‌فسفات (ATP) درون سلول باکتری شده و موجب مرگ آن می‌شود (Jeevanandam & San 2022). همچنین نانوذرات نقره با ایجاد پیوند با گروه‌های عاملی پروتئین‌های موجود در باکتری‌ها موجب تغییر در شکل و فعالیت آن‌ها و در نتیجه باعث مرگ آن‌ها می‌شود (Islam et al. 2021). علاوه بر این، نانوذرات فلزی به خصوص نقره، اکسیدروی و مس با ورود به درون سلول باکتری موجب تغییر در فعالیت آنزیم‌های کلیدی و در نتیجه مرگ باکتری‌ها می‌شوند. اکسیدروی و مس با بررسی تأثیر نانوذرات نقره بیوستز شده از عصاره آبی گیاه *Polygonum aviculare L.* (Ahmed et al. 2020) آقطی (Azizian et al. 2023) بر باکتری‌های کشت شده بیان کردند که این نانوذرات از رشد باکتری *E. coli* ممانعت می‌کند (Nagarajan et al. 2023). همچنین (Larijani & Aziziyan 2023) گزارش کردند که نانوذرات نقره بیوستز شده از عصاره گیاه بهار نارنج (*Citrus aurantium*) رشد باکتری‌های *E. coli* و *S. aureus* را مهار می‌کنند که با نتایج ما در این پژوهش مطابقت دارد (Nagarajan et al. 2023). اندازه هاله‌های تولید شده در پلیت حاوی باکتری *S. aureus* و *E. coli* توسط نانوذرات نقره بیوستز شده از عصاره آبی گیاه *F. vulgare* در غلظت‌های برابر به طور معنی‌داری بزرگ‌تر از نانوذرات اکسیدآهن، مس و اکسیدروی بیوستز شده توسط همان عصاره آبی بود (شکل ۴ و ۵- ج).

نتیجه‌گیری: در سال‌های اخیر پیشرفت‌هایی در زمینه نانوتکنولوژی جهت سنتز نانومناقل‌ها با قابلیت ارسال هدفمند دارو جهت مقابله با عوامل بیماری‌زا انجام گرفته است. از جمله نانوذرات فلزی بیوستز شده از گیاهان دارویی می‌توان به نانوذرات طلاق، نقره، مس، روی، نیکل و آهن اشاره نمود که در پژوهش‌های مختلف اثرات ضدبacterیایی، ضدقارچی و آنتی‌اکسیدانی آن‌ها مورد بررسی قرار گرفته است. در این پژوهش از گیاه رازیانه جهت بیوستز نانوذرات اکسیدآهن، مس، اکسیدروی و نقره و تأثیرات ضدبacterیایی عصاره آبی گیاه رازیانه و نانوذرات فلزی بیوستز شده از آن استفاده شد. طبق نتایج به دست آمده در این پژوهش نانوذره نقره بیوستز شده از عصاره آبی گیاه رازیانه با بالاترین میزان خاصیت ضدبacterیایی خود، بهترین عملکرد را داشت. استفاده از طیف بیشتر باکتری‌ها در بررسی خواص ضدبacterیایی عصاره آبی گیاه رازیانه و نانوذرات اکسیدآهن، مس، اکسیدروی و نقره بیوستز شده از آن در پژوهش‌های آتی می‌تواند به تکمیل اطلاعات مربوط به خاصیت ضدبacterیایی گیاه دارویی رازیانه کمک شایانی نماید.

سپاسگزاری: از معاونت محترم پژوهشی دانشگاه محقق اردبیلی به خاطر حمایت مالی و حمایت معنوی در اجرای پژوهش

حاضر سپاسگزاری می‌شود.

منابع

- محمدآبادی محمدرضا، گلکار افروز، عسکری حصنی مجید (۱۴۰۲) اثر رازیانه (*Foeniculum vulgare*) بر بیان ژن فاکتور ۱ رشد شبیه انسولین در بافت شکمبه گوسفند کرمانی. مجله بیوتکنولوژی کشاورزی، ۱۵(۴)، ۲۳۹-۲۵۶.
- جعفری احمدآبادی سید علی اصغر، عسکری همت حشمت‌الله، محمدآبادی محمدرضا (۱۴۰۲) تاثیر شاهدانه بر بیان ژن DLK1 در بافت قلب برده‌های کرمانی. مجله بیوتکنولوژی کشاورزی، ۱۵(۱)، ۲۱۷-۲۳۴.
- شکری سمیرا، خضری امین، محمدآبادی محمدرضا، خیرالدین حمید (۱۴۰۲) بررسی بیان ژن MYH7 در بافت‌های ران، دست و راسته برده‌های پرواری نژاد کرمانی. مجله بیوتکنولوژی کشاورزی، ۱۵(۲)، ۲۱۷-۲۳۶.

References

- Ahmadi-Nouraldinvand F, Bourang S, Azizi S et al. (2024) Preparation and characterization of multi-target nanoparticles for co-drug delivery. *Med Drug Discov* 21, 100177.
- Ahmed T, Shahid M, Noman M et al. (2020) Silver nanoparticles synthesized by using *Bacillus cereus* SZT1 ameliorated the damage of bacterial leaf blight pathogen in rice. *Pathogens* 9, 160.
- Ajinkya N, Yu X, Kaithal P et al. (2020) Magnetic iron oxide nanoparticle (IONP) synthesis to applications: present and future. *Materials* 13, 4644.
- Akbari A, Akbarzadeh A, Tehrani MR et al. (2020) Development and characterization of nanoliposomal hydroxyurea against BT-474 breast cancer cells. *Adv Pharm Bull* 10, 39.
- Alizadeh BB, Tabatabaei YF, Noorbakhsh H et al. (2016) Study of the antibacterial activity of methanolic and aqueous extracts of *Myrtus communis* on pathogenic strains causing infection.
- Alshareef F (2021) Protocol to Evaluate Antibacterial Activity MIC, FIC and Time Kill Method. ASMI (ISSN: 2581-3226) 4.
- Amirteymoori E, Khezri A, Dayani O, et al. (2021) Effects of linseed processing method (ground versus extruded) and dietary crude protein content on performance, digestibility, ruminal fermentation pattern, and rumen protozoa. *Italian J Anim Sci* 20(1), 1506-1517.
- Anka Z, Gimba S, Nanda A, Salisu L (2020) Phytochemistry and pharmacological activities of *Foeniculum vulgare*. *IOSR J Pharm* 10, 1-10.

- Arshad R, Gulshad L, Haq IU et al. (2021) Nanotechnology: A novel tool to enhance the bioavailability of micronutrients. *Food Science & Nutrition* 9, 3354-3361.
- Bankier C, Matharu R, Cheong Y et al. (2019) Synergistic antibacterial effects of metallic nanoparticle combinations. *Sci Rep* 9, 16074.
- Barrahi M, Esmail A, Elhartiti H et al. (2020) Chemical composition and evaluation of antibacterial activity of fennel (*Foeniculum vulgare* Mill) seed essential oil against some pathogenic bacterial strains. *Casp J Environ* 18, 295-307.
- Belabdelli F, Piras A, Bekhti N et al. (2020) Chemical composition and antifungal activity of *Foeniculum vulgare* Mill. *Chem Afr* 3, 323-328.
- Belete TM (2019) Novel targets to develop new antibacterial agents and novel alternatives to antibacterial agents. *Hum. Microbiome J* 11, 100052.
- Bhuyan T, Mishra K, Khanuja M et al. (2015) Biosynthesis of zinc oxide nanoparticles from *Azadirachta indica* for antibacterial and photocatalytic applications. *Mater Sci Semicond Process* 32, 55-61.
- Bourang S, Asadian S, Noruzpour M et al. (2024a) PLA-HA/Fe₃O₄ magnetic nanoparticles loaded with curcumin: physicochemical characterization and toxicity evaluation in HCT116 colorectal cancer cells. *SN Appl Sci* 6, 186.
- Bourang S, Noruzpour M, Azizi S et al. (2024b) Synthesis and in vitro characterization of PCL-PEG-HA/FeCo magnetic nanoparticles encapsulating curcumin and 5-FU. *Nanomed J* 11.
- Bourang S, Noruzpour M, Jahanbakhsh Godekahriz S et al. (2024) Application of nanoparticles in breast cancer treatment: a systematic review. *Naunyn Schmiedebergs Arch Pharmacol* 1-47.
- Brindhadevi K, Samuel MS, Verma TN et al. (2020) Zinc oxide nanoparticles (ZnONPs)-induced antioxidants and photocatalytic degradation activity from hybrid grape pulp extract (HGPE). *Biocatal Agric Biotechnol* 28, 101730.
- Bruna T, Maldonado-Bravo F, Jara P, Caro N (2021) Silver nanoparticles and their antibacterial applications. *Int J Mol Sci* 22, 7202.
- Dappula SS, Kandrankonda YR, Shaik JB et al. (2023) Biosynthesis of zinc oxide nanoparticles using aqueous extract of *Andrographis alata*: Characterization, optimization and assessment of their antibacterial, antioxidant, antidiabetic and anti-Alzheimer's properties. *J Mol Struct* 1273, 134264.
- Di Napoli M, Castagliuolo G, Badalamenti N et al. (2022) Antimicrobial, antibiofilm, and antioxidant properties of essential oil of *Foeniculum vulgare* Mill. leaves. *Plants* 11, 3573.
- Duan J, Du J, Jin R et al. (2019) Iron oxide nanoparticles promote vascular endothelial cells survival from oxidative stress by enhancement of autophagy. *Regen Biomater* 6, 221-229.

- Dulińska-Litewka J, Łazarczyk A, Hałubiec P et al. (2019) Superparamagnetic iron oxide Nanoparticles-Current and prospective medical applications. *Materials* 12, 617.
- Erdogán Eliuz EA (2023) Antimicrobial performance of methanol extract of *Foeniculum vulgare* Mill. as a sanitizer agent. *Indian J Exp Biol* 61, 124-130.
- Flieger J, Flieger W, Baj J, Maciejewski R (2021) Antioxidants: Classification, natural sources, activity/capacity measurements, and usefulness for the synthesis of nanoparticles. *Materials* 14, 4135.
- Hajalizadeh Z, Dayani O, Khezri A, et al. (2019) The effect of adding fennel (*Foeniculum vulgare*) seed powder to the diet of fattening lambs on performance, carcass characteristics and liver enzymes. *Small Rumin Res* 175, 72-77.
- Hasan AA, Tatarskiy V, Kalinina E (2022) Synthetic pathways and the therapeutic potential of quercetin and curcumin. *Int. J. Mol. Sci* 23, 14413.
- Hasan TH, Al-Harmoosh RA (2020) Mechanisms of antibiotics resistance in bacteria. *Sys Rev Pharm* 11, 817-823.
- Ishak NM, Kamarudin S, Timmiati S (2019) Green synthesis of metal and metal oxide nanoparticles via plant extracts: an overview. *Mater Res Express* 6, 112004.
- Islam MA, Jacob MV, Antunes E (2021) A critical review on silver nanoparticles: From synthesis and applications to its mitigation through low-cost adsorption by biochar. *J Environ Manag* 281, 111918.
- Jadoun S, Arif R, Jangid NK, Meena RK (2021) Green synthesis of nanoparticles using plant extracts: A review. *Environ Chem Lett* 19, 355-374.
- Jafari Ahmadabadi SAA, Askari-Hemmat H, Mohammadabadi M, et al. (2023) The effect of Cannabis seed on DLK1 gene expression in heart tissue of Kermani lambs. *Agric Biotechnol J* 15 (1), 217-234 (In Persian).
- Jafarirad S, Poorgholi S (2015) Synthesis of CuO nanoparticles and investigation on their applications in preparing hair color.
- Jeevanandam J, San Chan Y (2022) *In vitro* and *in vivo* toxicity of metal nanoparticles and their drug delivery applications. In: Applications of Nanotechnology in Drug Discovery and Delivery. Elsevier pp. 367-421.
- Kakhki MT, Sedaghat N, Mohsenzadeh M (2020) Chemical composition, antioxidative, antibacterial, and time-kill activities of some selected plant essential oils against foodborne pathogenic and spoilage organisms. In: Veterinary Research Forum. Faculty of Veterinary Medicine, Urmia University, Urmia Iran pp. 339.

- Khan MI, Ahhmed A, Shin JH et al. (2018) Green tea seed isolated saponins exerts antibacterial effects against various strains of gram positive and gram negative bacteria, a comprehensive study *in vitro* and *in vivo*. Evidence-Based Complementary and Alternative Medicine 2018.
- Kheiri S, Liu X, Thompson M (2019) Nanoparticles at biointerfaces: Antibacterial activity and nanotoxicology. *Colloids Surf B* 184, 110550.
- Kianfar E (2020) Importance & Applications of Nanotechnology. MedDocs Publishers.
- Koohsari H, Khormali H, Khormali A (2017) Evaluation of flavonoids and phenolic compounds, antioxidant and antibacterial activity of *Hypericum perforatum* L. Collected from two sites in North Country. *J Med Plants Res* 5, 78-90.
- Küünal S, Rauwel P, Rauwel E (2018) Plant extract mediated synthesis of nanoparticles. In: Emerging applications of nanoparticles and architecture nanostructures. Elsevier pp. 411-446.
- Larijani K, Aziziyan F (2023) Green synthesis of silver nanoparticles from *Polygonum aviculare* L. extract, evaluation of antibacterial, antioxidant activity.
- Liaqat N, Jahan N, Anwar T, Qureshi H (2022) Green synthesized silver nanoparticles: Optimization, characterization, antimicrobial activity, and cytotoxicity study by hemolysis assay. *Front Chem* 10, 952006.
- Mahmoudi R, Aghaei S, Salehpour Z et al. (2020) Antibacterial and antioxidant properties of phyto-synthesized silver nanoparticles using *Lavandula stoechas* extract. *Appl Organomet Chem* 34, e5394.
- Maliki M, Ifijen IH, Ikuoria EU et al. (2022) Copper nanoparticles and their oxides: optical, anticancer and antibacterial properties. *Int Nano Lett* 12, 379-398.
- Mohammadabadi M, Golkar A, Askari Hesni M (2023) The effect of fennel (*Foeniculum vulgare*) on insulin-like growth factor 1 gene expression in the rumen tissue of Kermani sheep. *Agricultural Biotechnology Journal* 15(4), 239-256.
- Mohd Yusof H, Abdul Rahman NA, Mohamad R et al. (2020) Biosynthesis of zinc oxide nanoparticles by cell-biomass and supernatant of *Lactobacillus plantarum* TA4 and its antibacterial and biocompatibility properties. *Sci Rep* 10, 19996.
- Nagarajan P, Subramaniyan V, Elavarasan V et al. (2023) Biofabricated Aluminium Oxide Nanoparticles Derived from *Citrus aurantium* L.: Antimicrobial, Anti-Proliferation, and Photocatalytic Efficiencies. *Sustainability* 15, 1743.
- Niño-Martínez N, Salas Orozco MF, Martínez-Castañón G-A et al. (2019) Molecular mechanisms of bacterial resistance to metal and metal oxide nanoparticles. *Int J Mol Sci* 20, 2808.

- Noruzpuor M, Asghari Zakaria R, Zare N et al. (2024) Green synthesis of metal nanoparticles using aqueous extract of *Moringa oleifera* L. and investigating their antioxidant and antibacterial properties. *Applied Chemistry Today*.
- Pal G, Rai P, Pandey A (2019) Green synthesis of nanoparticles: A greener approach for a cleaner future. In: *Green synthesis, characterization and applications of nanoparticles*. Elsevier pp. 1-26.
- Rajeshkumar S, Menon S, Kumar SV et al. (2019) Antibacterial and antioxidant potential of biosynthesized copper nanoparticles mediated through *Cissus arnotiana* plant extract. *J Photochem Photobiol* 197, 111531.
- Safaei SMH, Dadpasand M, Mohammadabadi M, et al. (2022) An *Origanum majorana* Leaf Diet Influences Myogenin Gene Expression, Performance, and Carcass Characteristics in Lambs. *Animals* 13(1), e14.
- Safaei SMH, Mohammadabadi M, Moradi B, et al. (2023) Role of Fennel (*Foeniculum vulgare*) Seed Powder in Increasing Testosterone and IGF1 Gene Expression in the Testis of Lamb. *Gene Expr* 4, 1-20.
- Salem DM, Ismail MM, Tadros HR (2020) Evaluation of the antibiofilm activity of three seaweed species and their biosynthesized iron oxide nanoparticles (Fe₃O₄-NPs). *Egypt J Aquat Res* 46, 333-339.
- Samuel MS, Jose S, Selvarajan E et al. (2020) Biosynthesized silver nanoparticles using *Bacillus amyloliquefaciens*; Application for cytotoxicity effect on A549 cell line and photocatalytic degradation of p-nitrophenol. *J Photochem Photobiol* 202, 111642.
- Sánchez-López E, Gomes D, Esteruelas G et al. (2020) Metal-based nanoparticles as antimicrobial agents: an overview. *Nanomaterials* 10, 292.
- Saqib S, Munis MFH, Zaman W et al. (2019) Synthesis, characterization and use of iron oxide nano particles for antibacterial activity. *Microscopy research and technique* 82, 415-420.
- Shaaban MT, Ghaly MF, Fahmi SM (2021) Antibacterial activities of hexadecanoic acid methyl ester and green-synthesized silver nanoparticles against multidrug-resistant bacteria. *J Basic Microbiol* 61, 557-568.
- Shahsavari M, Mohammadabadi M, Khezri A, et al. (2022) Effect of Fennel (*Foeniculum Vulgare*) Seed Powder Consumption on Insulin-like Growth Factor 1 Gene Expression in the Liver Tissue of Growing Lambs. *Gene Express* 21(2), 21-26.
- Shokri S, Khezri A, Mohammadabadi M, Kheyrodin H (2023). The expression of MYH7 gene in femur, humeral muscle and back muscle tissues of fattening lambs of the Kermani breed. *Agric Biotechnol J* 15 (2), 217-236 (In Persian).

- Singh R, Hano C, Nath G, Sharma B (2021) Green biosynthesis of silver nanoparticles using leaf extract of *Carissa carandas* L. and their antioxidant and antimicrobial activity against human pathogenic bacteria. *Biomolecules* 11, 299.
- Siva S, Li C, Cui H et al. (2020) Encapsulation of essential oil components with methyl- β -cyclodextrin using ultrasonication: Solubility, characterization, DPPH and antibacterial assay. *Ultrason. Sonochem* 64, 104997.
- Suleiman WB, Helal EE-H (2022) Chemical constituents and potential pleiotropic activities of *Foeniculum vulgare* (Fennel) ethanolic extract; *in vitro* approach. *Egypt. J Chem* 65, 617-626.
- Surpi A, Murgia M, López-Amoedo S et al. (2023) Magnetic separation and concentration of A β 1–42 molecules dispersed at the threshold concentration for Alzheimer's disease diagnosis in clinically-relevant volumes of sample. *J Nanobiotechnology* 21, 329.
- Sutunkova MP, Klinova SV, Ryabova YV et al. (2023) Comparative Evaluation of the Cytotoxic Effects of Metal Oxide and Metalloid Oxide Nanoparticles: An Experimental Study *Int J Mol Sci* 24, 8383.
- Tacconelli E, Carrara E, Savoldi A et al. (2018) Discovery, research, and development of new antibiotics: the WHO priority list of antibiotic-resistant bacteria and tuberculosis. *Lancet Infect Dis* 18, 318-327.
- Tang S, Zheng J (2018) Antibacterial activity of silver nanoparticles: structural effects. *Adv Healthc Mater* 7, 1701503.
- Thakar MA, Jha SS, Phasinam K et al. (2022) X ray diffraction (XRD) analysis and evaluation of antioxidant activity of copper oxide nanoparticles synthesized from leaf extract of *Cissus vitiginea*. *Mater Today Proc* 51, 319-324.
- Thakur PK, Verma V (2021) A review on green synthesis, characterization and anticancer application of metallic nanoparticles. *Appl Biochem Biotechnol* 193, 2357-2378.
- Usman M, Farooq M, Wakeel A et al. (2020) Nanotechnology in agriculture: Current status, challenges and future opportunities. *Sci Total Environ* 721, 137778.
- Vahabzadeh M, Chamani M, Dayani O, et al. (2020) Effect of *Origanum majorana* leaf (*Sweet marjoram*) feeding on lamb's growth, carcass characteristics and blood biochemical parameters. *Small Rumin Res* 192, e106233.
- Vahabzadeh M, Chamani M, Dayani O, et al. (2021) Effects of Sweet Marjoram (*Origanum majorana*) Powder on Growth Performance, Nutrient Digestibility, Rumen Fermentation, Meat Quality and Humoral Immune Response in Fattening Lambs. *Iran J Appl Anim Sci* 11(3), 567-576.

- Wei Y, Quan L, Zhou C, Zhan Q (2018) Factors relating to the biodistribution & clearance of nanoparticles & their effects on *in vivo* application. *Nanomedicine* 13, 1495-1512.
- Yaqoob AA, Umar K, Ibrahim MNM (2020) Silver nanoparticles: various methods of synthesis, size affecting factors and their potential applications—a review. *Appl Nanosci* 10, 1369-1378.
- Yusof NAA, Zain NM, Pauzi N (2019) Synthesis of ZnO nanoparticles with chitosan as stabilizing agent and their antibacterial properties against Gram-positive and Gram-negative bacteria. *Int J Biol Macromol* 124, 1132-1136.
- Zheng W, Zhou Q, Yuan C (2021) Nanoparticles for oral cancer diagnosis and therapy. *Bioinorg Chem* 2021, e9977131.